

- 3) PEHLKE & ELLIOTT: Trans. Met. Soc., Amer. Inst. Min., Met. & Pet. Eng., 218 (1960), p. 1088
 4) H. SCHENCK, et al.: Arch. Eisenhüttenw., 29 (1958), p. 673
 5) 川崎製鉄: 第13回LD技術懇談会資料, (1964) 3

669.184, 244,661669,046,564
:669.784, 669,012,1-52

(54) 転炉の脱炭反応に関する考察とそれに基づく鋼浴炭素濃度連続測定の可能性

(転炉への計算制御に関する研究—I)

住友金属工業, 和歌山製鉄所

理博 藤井毅彦・○荒木泰治・丸川雄淨
 Consideration on Decarburization Reaction in the Oxygen Process and Possibility of the Continuous Determination of Bath Carbon.
 (Study on the computing control to an oxygen converter—I)

Dr. Takehiko FUJII, Taiji ARAKI
 and Katsukiyo MARUKAWA.

1. 緒 言

転炉製鋼法は、製鋼能率の高いことのほかに鋼質の点においても、他の平炉等の製鋼法に比して、いろいろの優れた点を有しているので、国内はいよいよ、世界のすう勢も上吹き転炉製鋼法が、その中心を占めつつある状況である。したがつて、この転炉製鋼法の長所をより引き伸ばすための計算制御の転炉操業への導入が、世界の製鋼部門における中心的課題となつているといつても過言ではない。そこで、この計算制御の中心をなす鋼浴カーボン濃度の連続測定を可能にするべき、ソフトウェアの開発を、脱炭反応に関する基礎的調査の上に立てる検討を加えてみた。

2. 製鋼過程における脱炭反応機構について

2.1 脱炭反応に関する実験的研究結果

10 kW 真空管式高周波溶解炉での脱炭反応の速度論的研究¹⁾により、脱炭速度と鋼浴炭素濃度の間に、Fig. 1 に示すような関係が得られた。この図から、脱炭速度と

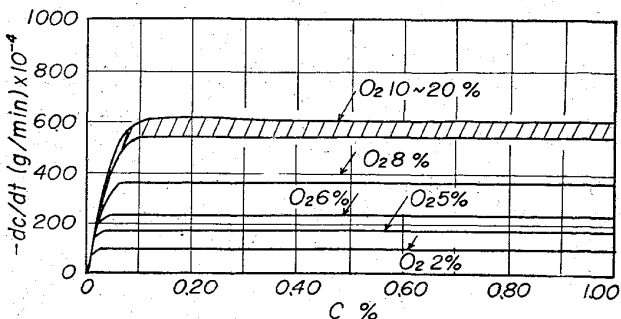


Fig. 1. Rate of decarburization by gaseous oxygen VS. C (%) in high frequency induction furnace. 1600°C, oxygen 0~20%.

炭素濃度との関係において、2つの領域があることが判る。すなわち、脱炭速度が炭素濃度によって変らず、酸素濃度にしたがう領域と、炭素濃度によつて変り、酸素濃度にしたがわぬ領域とがある。これは、つぎのように考えることができる。反応の起る場所は、この場合溶鉄と雰囲気ガスとの接触する自由表面であり²⁾、その反応面へ、炭素と酸素が移動することによつて、反応が進行するのであるが、炭素濃度の高い場合は、炭素の反応面への到達速度が大であるため、酸素の到達速度によつて脱炭速度が定められ、炭素濃度が低下すると、逆に炭素の到達速度によつて脱炭速度は定められる。以上が実験的研究の結果得られた基礎的理論であるが、これが実際の製鋼炉で、どのようにあてはまるかを以下にみる。

2.2 平炉における脱炭機構

和歌山製鉄所における酸素製鋼時の 100 t および 200 t 塩基性平炉での脱炭速度と炭素濃度との関係を Fig. 2 にしめす³⁾。この結果、ここでも前の実験炉で示した考え方をそのまま生かすことができて、精錬の進むにつれて炭素濃度にかかわらず、脱炭速度が一定の領域から、炭素濃度に比例する領域へと移行する段階が、明瞭に示されている。しかも、高炭素領域における脱炭速度一定の領域では、酸素流量の増加とともに、脱炭速度が増加していることが、わかる。ただ、脱炭速度が、炭素濃度によつて変化する領域でも、酸素流量によつて脱炭速度がいくぶん変化しているようであり、これは、酸素流量の増加による反応面積の増大と鋼浴攪拌効果の増大のためと考えられる。

2.3 転炉における脱炭機構

転炉においては、その構造上から、任意の時点で溶鉄から試料を採取することは、非常に困難であり、また、たとえ採取できたとしても、非常に製鋼時間が短いため、そのサンプルの分析によつて吹鍊を制御することは、非常に困難である。ここに計算制御の必要性が生まれてくるのである。そこで、われわれは、次に示すような装置により、間接的に、廃ガスより転炉吹鍊中の脱炭状況をつかむことを考えた。

Fig. 3 に示すような系統図をもつた脱炭速度計算装置

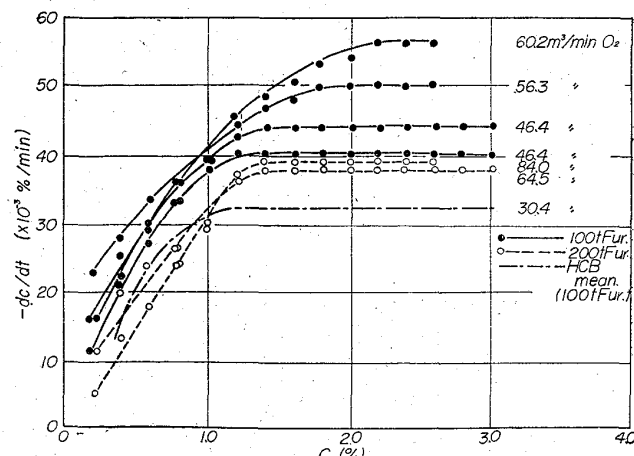


Fig. 2. Rate of decarburization VS. C (%) in a basic open hearth furnace.

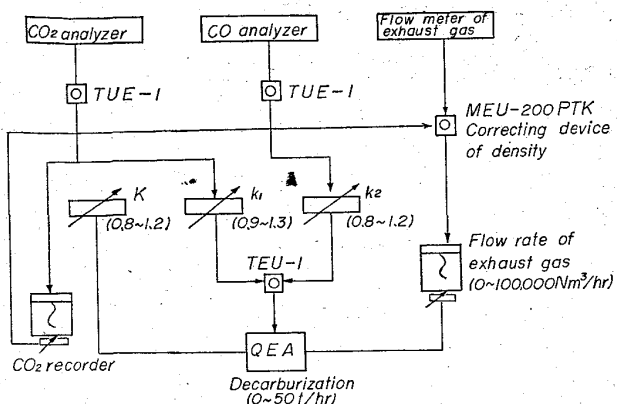


Fig. 3. System diagram of continuous determination of the decarburization rate by the analysis of exhaust gas.

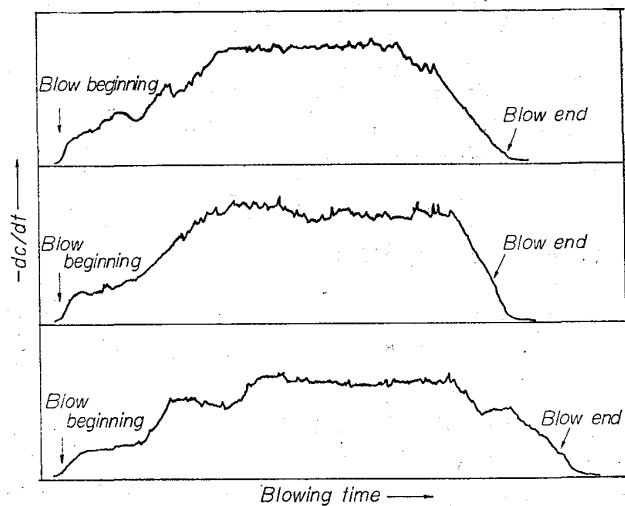


Fig. 4. Charts of continuously recorded decarburization rate.

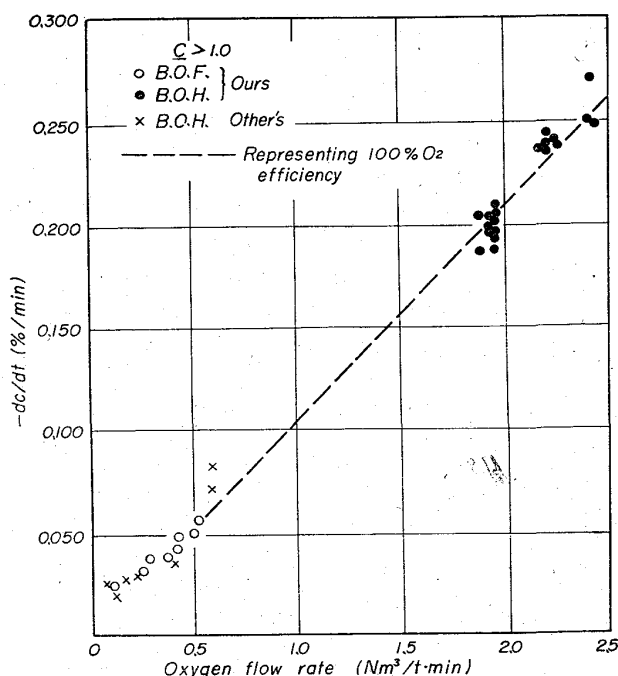


Fig. 5. Effect of oxygen flow rate on the maximum rate of decarburization.

を、転炉工場に設置し、排ガスよりの脱炭状況を容易に迅速に把握できるようにした。これによる脱炭速度チャートを Fig. 4 に示す。このチャートより、吹鍊を前期、中期、後期にわけることができる。2・1, 2・2において、実験炉、平炉の脱炭状況を示したが、それと同じことが、中期と後期において認められる。まず、中期の最高脱炭速度レベルの値は、Fig. 5 に示すように、平炉の場合と同じく、この程度の流量では、O₂効率にしてほぼ 100% の脱炭速度になる。また、後期においては、炭素濃度が、低くなると、やはり、脱炭速度も低下する領域があることがわかつた。また前期は、実験炉、平炉の場合はなかつたが、これは溶銑硅素濃度が、まだ高く、鋼浴温度も低いため、脱炭が十分活発に起らない時期だと考えられる。

3. 転炉における脱炭反応モデル

2章において、種々の製鋼過程における脱炭反応の進行状況を、とりわけ、転炉におけるそれを詳しく検討したが、その結果、転炉の吹鍊中の脱炭反応は、3つの領域に分けてとらえられることが判明した。しかも、その3つの領域の脱炭状況は、それぞれ、つぎのように特徴づけられることが判明した。

第Ⅰ吹鍊期

溶銑中の硅素濃度が、まだ非常に高く、また、溶銑温度がまだ低いために、脱炭反応がおさえられ、徐々に脱炭速度が上昇する時期で、つぎの式によつて近似的にあらわされる。

$$-dc/dt = k_1 t \quad k_1: \text{定数}, \quad t: \text{吹鍊時間}$$

第Ⅱ吹鍊期

溶温が上昇し、反応面へのCの到達速度が十分大きく、供給される酸素がほぼ 100% 脱炭に消費され、吹込み酸素量にしたがつて、最高脱炭速度レベルが続く時期で、つぎの式によつてあらわされる。

$$-dc/dt = k_2 Q \quad k_2: \text{定数}, \quad Q: \text{酸素流量}$$

第Ⅲ吹鍊期

脱炭が進み、炭素濃度が低下して、Cの反応面への到達速度が酸素のそれより遅くなり、Cの反応面への到達速度が律速段階になり、脱炭速度が、炭素濃度と比例して低下する時期で、つぎの式によつて近似される。

$$-dc/dt = k_3 C \quad k_3: \text{定数}, \quad C: \text{炭素濃度}$$

以上により、吹鍊を三つの吹鍊期に分けて、とらえるところの脱炭モデルをつくることができた。これにより、転炉操業に、計算制御を導入し得る可能性が明らかになった。

4. 結 言

転炉の鋼浴炭素濃度の連続測定を可能にし、計算制御を取り入れるためには、転炉の脱炭反応機構をまずもつて詳細に把握しなければならない。そこで、基礎的理論にもとづいた実験室的研究および今まで十分検討された平炉の脱炭状況の検討を足がかりとした。さらに、転炉の排ガス分析により、転炉の脱炭状況をかなりくわしく知ることに成功した。これらの資料をもとに、転炉の吹鍊を、その脱炭反応機構の特徴にもとづいて3つの時期に区分するところの脱炭モデルをつくることができた。したがつて、これをもとにして転炉操業に計算制御を導入する可能性ができたと考える。

文 献

- 1) 藤井: 鉄と鋼, 45 (1959), p. 1248
- 2) 藤井: 鉄と鋼, 46 (1960), p. 12
- 3) 藤井, 浦: 鉄と鋼, 48 (1962), p. 407

~~669,184,244,66 : 669,046,564~~

~~: 669,784 : 669,012,1-52~~

(55) “脱炭モデル”をもとにした転

炉制御方式の開発

(転炉への計算制御に関する研究—II)

住友金属工業, 和歌山製鉄所

理博 藤井毅彦・荒木泰治・○丸川雄淨
Development of the Control System in the Oxygen Process on the Basis of "The Decarburization Model".

(Study on the computing control to an oxygen converter—II)

Dr. Takehiko FUJII, Taiji ARAKI
and Katsukiyo MARUKAWA.

1. 緒 言

前報において、実験炉、平炉、転炉の脱炭反応機構を基礎的理論にもとづいて検討し、特に転炉の吹鍊にたいして、脱炭状況の違いにより、吹鍊を3つに区分するところの脱炭モデルをつくることができた。本論文においては、この脱炭モデルをもとに転炉の新しい計算制御方法を開発し、実際の転炉において検討を加えたので、その結果について報告する。

2. 脱炭モデル方式について

Fig. 1 に転炉の脱炭モデルをしめす。この脱炭モデルにより、転炉の吹鍊は、3つの吹鍊期に分けられ、各吹鍊期はつきのような数式によつてあらわされる。

第I吹鍊期 $-dc/dt = k_1 t$ k_1, k_2, k_3 : 定数第II吹鍊期 $-dc/dt = k_2 Q$ Q : 酸素流量第III吹鍊期 $-dc/dt = k_3 C$ C : 鋼浴炭素濃度

これにより、吹鍊前か、もしくは、吹鍊途中での溶鋼中炭素量がわかれば、それ以後のいかなる時点の鋼浴炭素濃度も計算できる。ただし、この計算に先だち、それぞれの吹鍊条件に対して、3つの定数 k_1, k_2, k_3 を定めなければならない。この3つの定数は、つきのような性格をもち、つきのようにして求められる。

k_1 : これは Fig. 1 の第I吹鍊期の時間に対する上り勾配にあたる。したがつて第I吹鍊の時間 (time AB) と第II吹鍊期の脱炭速度値 ($(-dc/dt)_{\max}$) によつて求められる。

$$k_1 = (-dc/dt)_{\max} / \text{time AB}$$

k_2 : これは第II吹鍊期の酸素効率によつて定まる。

k_3 : これは Fig. 1 の第III吹鍊期の下り勾配にあたる。したがつて、第III吹鍊期開始の時点(D点)の鋼浴炭素濃度(C_D %)と第II吹鍊期の脱炭速度値 ($(-dc/dt)_{\max}$) によつて求められる。

$$k_3 = (-dc/dt)_{\max} / C_D$$

以上より、 k_1, k_2, k_3 の値を定めるには、第I吹鍊期の時間 (time AB) と第II吹鍊期の酸素効率とD点の鋼浴炭

素濃度の3つを定めればよい。そして、これにより、脱炭モデルが完成されたといえる。この3つの値 (time AB, 第II吹鍊期の酸素効率, C_D %) が脱炭モデルの管理ポイントとなる。したがつて、前もつてこの3つの管理ポイントを定めて吹鍊時間を計算することになれば、それはスタティック・コントロールになり、この3つの管理ポイントを排ガスによる脱炭速度の連続測定によつて、吹鍊中に決定すれば、ダイナミックコントロールが可能となる。

3. 脱炭モデル方式による炭素濃度の
スタティック・コントロール

スタティック・コントロールによる吹鍊時間の計算方法をつぎに示す。

まず Fig. 1 に示したD点までの吹鍊時間を計算するにつきの式で求められる。

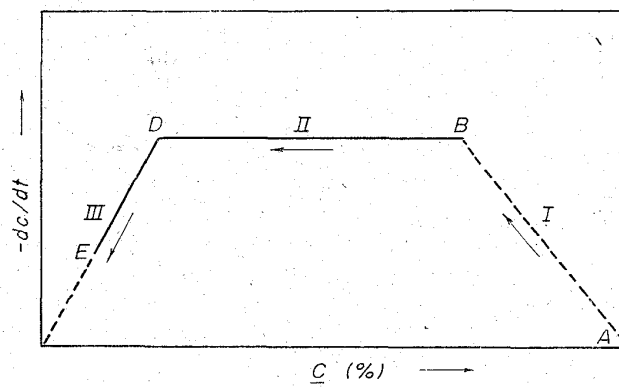


Fig. 1. Decarburization model.

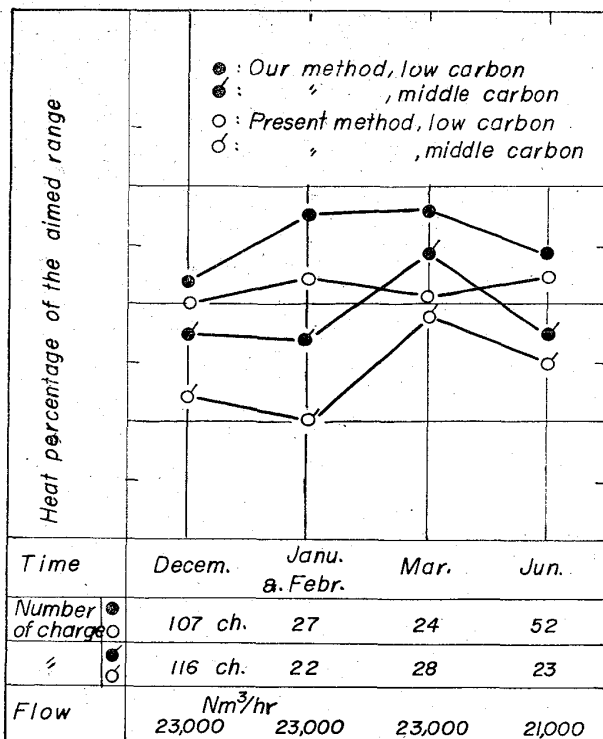


Fig. 2. Changes of the results of carbon control and difference between our method and present method.